

## II-2 Stream Function Theory の水粒子速度場への適用性

京都大学工学部 正 酒井哲郎, ○ 千葉県土木部 正 山田雄三

### 1. まえがき

Dean<sup>1)</sup>は、1965年に海面上の1点での時間変形を用いて、実測時間変形と理論波形の差および水面でのベルヌーイの定数の変動を最小化するよう級数解の係数を最小二乗法を用いて決定して表面波を表現する方法を提案した。その後彼は、この方法を用いて波の水粒子速度および加速度を計算し、鉛直円柱に作用する波力およびモーメントを求める図表を作製する<sup>2)</sup>とともに、碎波の条件を用いて波高水深比が7.0になりうることを示した。この研究は、Deanが計算した波の水粒子速度が果して実際の波の水粒子速度と何ほど表現しているか、すなわち水粒子速度の観点からこの Stream function wave theory の適用性を検討したものである。この方法では、一様水深で進行する波形（すなわち波を対象としているが）、ここではこの方法が非対称な波形にも適用できる点に注目し、一様水深の下規則波の1波あたり斜面上で許される規則波に適用することにする。

### 2. Stream Function Wave Theory

詳細は Dean<sup>1)</sup> の論文で示されていますので、ここでは概略を示します。一様水深  $h$  で一定の波速  $L/T$  ( $L$ : 波長,  $T$ : 周期) で変形せずに伝播する波を、波速と同じ速度で運動する座標系  $x-z$  ( $x$ : 波の進行方向の水平座標,  $z$ : 静水面を原点とする鉛直上向き座標) から見て流小角数中で表現すると次式のようになる。

$$\psi = \frac{L}{T} z + \sum_{n=4,6,8,\dots}^{N-1} \sinh \frac{(n-2)\pi(h+z)}{L} \left\{ X(n) \cos \frac{(n-2)\pi x}{L} + X(n+1) \sin \frac{(n-2)\pi x}{L} \right\} \quad (1)$$

上式で右辺の  $\psi$  の内2項以上を1項のサウス場合は、結果の Stokes 波、級数解と同じ形になる。 $\pi/2$  だけ位相差のある2項を考慮すると、1波形の非対称性を表現している。水面変形  $\eta$  は、(1) 式で  $z = \eta$  とおけば、流れ角度  $\psi$  が水面での定義  $\psi(x, \eta) = X(3)$  を満たす、次式のようになる。

$$\psi = \frac{L}{T} X(3) - \frac{L}{T} \sum_{n=4,6,8,\dots}^{N-1} \sinh \frac{(n-2)\pi(h+\eta)}{L} \left\{ X(n) \cos \frac{(n-2)\pi x}{L} + X(n+1) \sin \frac{(n-2)\pi x}{L} \right\} \quad (2)$$

また、 $T = X(2)$  の初期値として時間波形の記録から読み取る、長波の周期を手に入れて  $L = X(1)$  の初期値として静水深  $h$  と上述の周期から求められる微小振幅波の波長を手に入れ、つぎに実測波形を  $\eta_m$ 、理論波形を  $\eta_p$  とし、1周期を  $I$  個の離散値  $i$  に分割し、 $\eta_m$  と  $\eta_p$  の不一致の程度を次式で表現する。残りの未知数  $X(3)$

$$E_2 = \frac{1}{I} \sum_{i=1}^I (\eta_m - \eta_p)^2 \quad (3) \quad \sim X(N) の初期値は、この E_2 が最小となるようにして、dE_2/dX(n) = 0 (n=3 \sim N) オリジナル。実際には、X(3) \sim X(N) に関する (N-2) 個$$

の連立方程式となるが、この場合(3)式の右辺の  $\eta_p$  については、(2)式でわかるように双曲線関数の形でさうぐり含むことになり、計算が難航する。 $\eta_m$  とあわせて  $\eta_p$  をあらわす。

(1) 式からわかるように、中間ラプラスの方程式を満たし、かつ海底での境界条件を満たす。また(2)式からわかるように  $\psi(x, \eta) = X(3)$  (const.) となることによって、水面での運動学的条件が自動的に満たされる。残りの条件は水面での力学的条件で、水面での圧力  $p = 0$  とすれば運動座標系では次式のようになる。ただし、

$$\eta + \{(u - \frac{L}{T})^2 + w^2\}/2g = 0 \quad (4) \quad u, w は水流や水静止座標系から見た波の水粒子速度の x, z 成分であり、0 はベルヌーイの定数である。ここでベルヌーイの定数  $Q$  が 1 周期でやたらと大きく変動しないようになることを考慮、(4)のようなく  $Q$  の変動の程度を表現$$

$$E_1 = \frac{1}{I} \sum_{i=1}^I (Q_i - \bar{Q})^2, \quad \bar{Q} = \frac{1}{I} \sum_{i=1}^I Q_i; \quad (5) \quad すなはち E_1 を考える。すなはち前述の E_2 を合せて、E_T = E_1 + E_2 \quad を定義し、前述の X(n) (n=1 \sim N) の初期値を X'(n) (n=1 \sim N) に増加すれば、E_T が近似的に次式で与えられる。$$

$$E_T = \frac{1}{I} \sum_{i=1}^I \left[ \left\{ Q_i + \sum_{n=1}^N \frac{\partial Q_i}{\partial X(n)} X'(n) \right\} - \left\{ \bar{Q} + \sum_{n=1}^N \frac{\partial \bar{Q}}{\partial X(n)} X'(n) \right\} \right]^2 + \frac{1}{I} \sum_{i=1}^I \left[ \left\{ \gamma_{pi} + \sum_{n=1}^N \frac{\partial \gamma_{pi}}{\partial X(n)} X'(n) \right\} - \gamma_{ni} \right]^2 \quad (4)$$

この  $E_T$  を最小にするための式  $\partial E_T / \partial X'(j) = 0$  ( $j=1 \sim N$ ) は  $X'(j)$  ( $j=1 \sim N$ ) に関する  $N$  個の連立方程式である。この連立方程式を解いて、 $X'(j)$  の十分小さくなければ、 $X(j) + X'(j)$  も新たに  $X(j)$  と一緒に計算を繰り返す。すなはち (6) 式右辺の半分は  $Q_i$  および  $\bar{Q}$  を含め、(4) 式からわかるように  $\gamma_{pi}$  を含んでいます。実際の計算では、式の後  $\gamma_p$  と記され、繰り返し計算の 1 step 前の  $\gamma_p$  を用いた。

### 3. 浪の水粒子速度場への適用

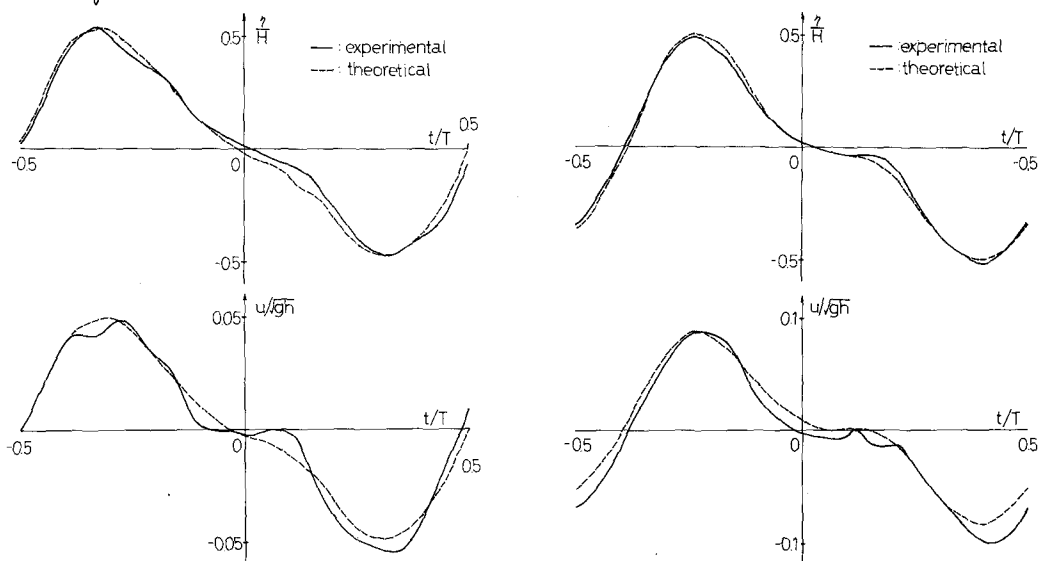
1. 述べたように、この方法は本来波形が変形せずに乗り遅す波で適用すべきものであるが、ここでまことに不規則波の水位および同時に位置で測定された水粒子速度の時間変化の記録<sup>4)</sup>の中の卓越した峯を有する1波分を取り出してこの方法を適用してみる。この場合水深は一様であるが、その前後では時間波形は乗り遅れていないことを確かめておく。静水深  $h = 45$  cm、水粒子速度の測定点は  $z = -9.0$  cm である。図-1, (1), (2) は、その結果の例である。各図は上側が水位、下側が水粒子速度の同時の時間変化で、Stream function wave theory による計算結果は破線で示している。水面波形はともに非対称であるが、理論波形は微小な変動を除けば全体的にはほぼ実測波形と一致している。一方同時に測定された水平方向水粒子速度の時間変化のオフセットは、水位の場合と同様全く本体的傾向にはほぼ理論波形によつて説明しうるが、微小な変動は説明しうない。ただし、水粒子速度の測定には  $u/\sqrt{gh}$  で約 0.01 の誤差を含むることは考慮すると、理論値と実測値の差異は誤差と同程度といえる。理論のオフセットがくり返すことを前提としており、それに付して実測値はかねてとも波形がくり返す中ではあるが、図を見て  $\Delta T = 0 \sim 1.0 \sim 1/H$  および  $u/\sqrt{gh}$  の逆数一致している。以上のことを考慮すると、Dean の方法は、不規則波の水粒子速度の時間変化の中の顕著な峯を有する1波分の実験値には説明しうると考えられる。

次に、波形が変形しない一様水深でなく勾配を有する場合への適用について、一様勾配斜面上で碎波する規則波の峯の位相での水平方向水粒子速度の鉛直分布<sup>5)</sup>を適用した例が図-2, (1), (2) である。図の (1) は斜面勾配  $i = 1/20$ , (2) は  $1/10$  の場合である。水粒子速度の測定は中立粒子をレーザーとて行なったもので、同じ位置で水位の時間変化をも測定している。水粒子速度の鉛直分布に関しては、碎波水深  $h_0$ 、周期および碎波高をもつて一様水深に対する波形を有する Schelkunoff の Stokes 波の第一次近似解（速度の定義として Stokes のオフセットと定義している<sup>6)</sup>）および Laitone の 2 次元波の第一次近似解によるもつて示している。この図を確かめるところ、Dean の Stream function wave theory は、一様水深の波形のとき（すなはち本来対象としているにもかかわらず、もしくは実験値に近い値を示している）。すなはち不規則波の場合も含めて、以上の計算でくり返し回数をすべて 5 回としたが、この回数を増やせばさらに実験値とよく一致するようになると考えられる。

以上のように、適用例を多く一般的なことを今後の研究に待たなければないが、この方法は一様水深の不規則波の水粒子速度に関する Reid<sup>7)</sup>の散乱フィルターの方法とともに有力な方法であり、また斜面上の碎波の水粒子速度に関する一様水深でないもののかかわりに実験値をも説明できることを示す。最後にこの研究にあたって有益な御助言をいただいた京都大学工学部岩垣教授へ謝意を表すとともに、不規則波をも斜面上での碎波の実験結果を心よく提供して下された京都大学大院博士課程学生石田啓氏および当時修士課程学生田中康一氏（現在川崎重工）に感謝する。また本研究の一環は文部省科学研究費によつて行なわれた。

- 参考文献
- 1) Dean, R.G. : Stream function representation of nonlinear ocean waves, *Proc. Geophysical Res.*, Vol. 70, No. 18, 1965.
  - 2) Dean, R.G. : Stream function wave theory, Validity and application, *Proc. Special Conf. Coastal Eng.*, 1965.
  - 3) Dean, R.G. : Breaking wave criteria, A study employing a numerical wave theory, *Proc. 11th Conf. Coastal Eng.* 1968.
  - 4) 岩垣健一・酒井哲郎・石田啓：不規則波の水粒子速度と水面変動との相互関係に関する研究、第19回海岸工学講習会論文集、1972,
  - 5) 吉垣健一・酒井哲郎・田中康一・沢井信樹：斜面上の碎波の水粒子速度の鉛直分布と波形について、第20回海岸工学講習会論文集、1973(昭和48)

↳ Tsuchiya, Y. and M. Yamaguchi : Some considerations on water particle velocities of finite amplitude wave theories, Coastal Eng. in Japan, 1972.



(1)  $h = 45 \text{ cm}$ ,  $z = -9.0 \text{ cm}$ ,  $T = 3.2 \text{ sec}$ ,  
 $N = 13$ ,  $J = 37$

(2)  $h = 45 \text{ cm}$ ,  $z = -9.0 \text{ cm}$ ,  $T = 2.6 \text{ sec}$ ,  
 $N = 13$ ,  $J = 32$

図-1 Stream function wave theory の不規則波の水粒子速度の時間変化への適用

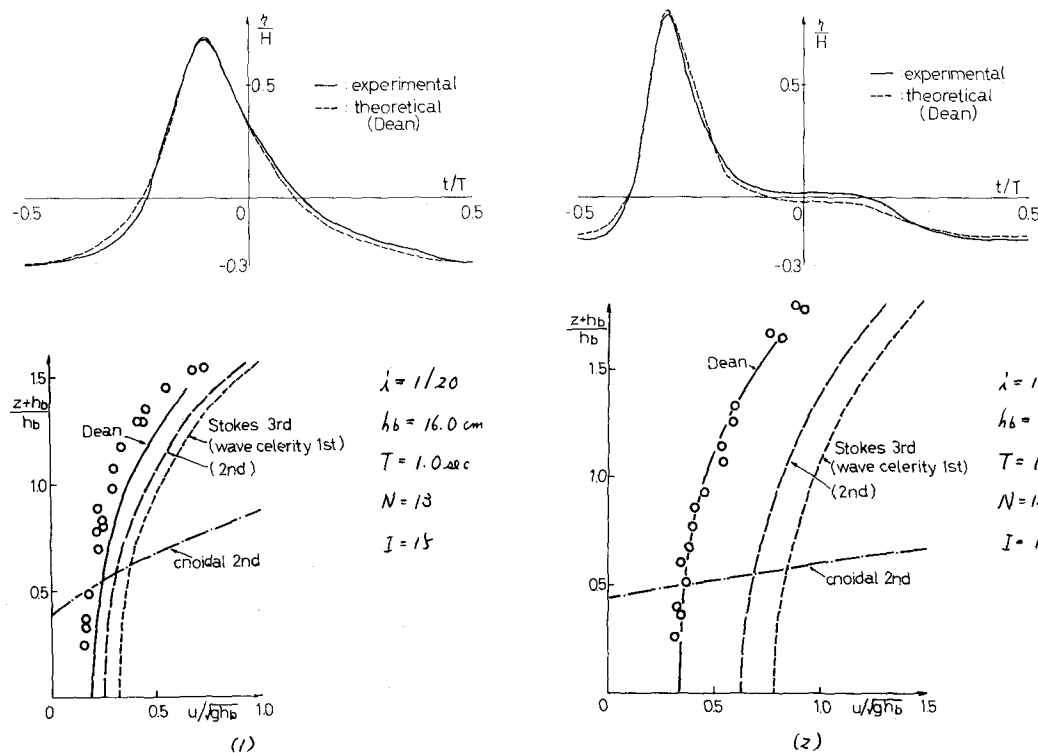


図-2 Stream function wave theory の斜面上の碎波の水粒子速度の鉛直分布への適用